



การสึกของกลาสไอโอโนเมอร์ซีเมนต์ภายหลัง การแปรง

พิรพงศ์ กุประดิษฐ์ ท.บ., ป.บัณฑิต (ทันตกรรมหัตถการ)¹

วาสนา พัฒนพีระเดช ท.บ., ป.สูงคลินิก (วิทยาเอนโดดอนต์) M.D.S., อ.ท. (ทันตกรรมหัตถการ)²

จารุพรรณ อุ่นสมบัติ ท.บ., ป.บัณฑิต (ทันตกรรมหัตถการ) Cert.in Oper. Dent., M.S., ABOD²

¹นิสิตบัณฑิตศึกษา ภาควิชาทันตกรรมหัตถการ คณะทันตแพทยศาสตร์ จุฬาลงกรณ์มหาวิทยาลัย

²ภาควิชาทันตกรรมหัตถการ คณะทันตแพทยศาสตร์ จุฬาลงกรณ์มหาวิทยาลัย

บทคัดย่อ

วัตถุประสงค์ เพื่อเปรียบเทียบปริมาณที่สูญหายและความสึกเฉื่อยของการสึกจากการแปรงของกลาสไอโอโนเมอร์ซีเมนต์ชนิดดั้งเดิม 2 ชนิด (คือแทคฟิลพลัสแอฟลิแคปและฟูจินายจีพีแคปซูล) กับเรซินมอดิฟายด์กลาสไอโอโนเมอร์ซีเมนต์ 2 ชนิด (คือแทคเอ็นวันฮันเดรดและฟูจิทูแอลซีแคปซูล) ในห้องปฏิบัติการ

วัสดุและวิธีการ เตรียมชิ้นตัวอย่าง 128 ชิ้นในแบบหล่อโลหะ แบ่งเป็น 4 กลุ่มเท่าๆ กันตามชนิดของวัสดุที่ใช้ทดสอบคือคือแทคฟิลพลัสแอฟลิแคป ฟูจินายจีพีแคปซูล คือแทคเอ็นวันฮันเดรด และฟูจิทูแอลซีแคปซูล ใช้เครื่องวัดความหยาบผิวไปโรไฟโลมิเตอร์ วัดปริมาตรที่สูญหายและความสึกเฉื่อยของแต่ละชิ้นตัวอย่าง แปรงชิ้นตัวอย่างด้วยเครื่องแปรงอัตโนมัติ โดยใช้ชิ้นตัวอย่าง 8 ชิ้นต่อการแปรง 1 ครั้ง จำนวนรอบในการแปรง 20,000 รอบ ความเร็วแปรง 90 รอบต่อนาที แรงกด 150 กรัม ร่วมกับสารละลายยาสีฟัน วัดความแตกต่างของปริมาตรที่สูญหายและความสึกเฉื่อยที่เปลี่ยนแปลงของแต่ละชิ้นตัวอย่างภายหลังการแปรง ข้อมูลถูกวิเคราะห์ด้วยสถิติครุสคัล-วัลลิส ที่ระดับนัยสำคัญ 0.05

ผลการศึกษา ค่าปริมาตรที่สูญหายและความสึกเฉื่อยที่เกิดขึ้นภายหลังการแปรงของคือแทคฟิลพลัสแอฟลิแคปมีความแตกต่างจากคือแทคเอ็นวันฮันเดรด ฟูจิทูแอลซีแคปซูลและฟูจินายจีพีแคปซูล อย่างมีนัยสำคัญทางสถิติ ($p = 0.003$ 0.005 และ 0.031 ตามลำดับ) แต่ไม่พบความแตกต่างอย่างมีนัยสำคัญทางสถิติระหว่างฟูจินายจีพีแคปซูลกับคือแทคเอ็นวันฮันเดรด หรือฟูจิทูแอลซีแคปซูล

สรุป คือแทคฟิลพลัสแอฟลิแคปมีการสึกที่แตกต่างจากเรซินมอดิฟายด์กลาสไอโอโนเมอร์ซีเมนต์ทั้งสองชนิด (คือแทคเอ็นวันฮันเดรดและฟูจิทูแอลซีแคปซูล) และกลาสไอโอโนเมอร์ซีเมนต์ชนิดดั้งเดิมอีกชนิดหนึ่ง (ฟูจินายจีพีแคปซูล)

(ว ทันต จุฬาฯ 2553;33:119-30)

คำสำคัญ: กลาสไอโอโนเมอร์ซีเมนต์; การทดสอบการแปรง; การสึกจากการแปรง; เครื่องวัดความหยาบผิว; ปริมาตรที่เปลี่ยนแปลง

บทนำ

กลาสไอโอโนเมอร์ซีเมนต์เป็นวัสดุบูรณะฟันที่มีคุณสมบัติที่หลายประการได้แก่มีพันธะเคมีกับโครงสร้างของฟัน มีการปลดปล่อยฟลูออไรด์ตลอดอายุการใช้งาน จึงนิยมนำมาใช้ในการควบคุมฟันผุ (caries control) บูรณะฟันเพื่อรอดูอาการของเนื้อเยื่อใน (pulp tissue) หรือในผู้ป่วยมีความเสี่ยงสูงที่จะพบรอยผุเนื่องจากได้รับรังสีรักษา (radiation caries)¹ รวมทั้งใช้ในการบูรณะรอยผุผิวรากฟัน (root surface caries) ซึ่งมักพบในผู้สูงอายุ นอกจากนี้กลาสไอโอโนเมอร์ซีเมนต์ยังมีค่าสัมประสิทธิ์การขยายตัวเหตุความร้อน (thermal expansion) ที่ต่ำใกล้เคียงกับฟัน มีความเป็นพิษ (cytotoxicity) ต่ำและมีความเข้ากันได้กับเนื้อเยื่อ (biocompatibility) เป็นอย่างดี²

กลาสไอโอโนเมอร์ซีเมนต์แบ่งได้เป็น 3 ประเภทตามส่วนประกอบของโครงสร้าง^{3,4} คือกลาสไอโอโนเมอร์ซีเมนต์ชนิดดั้งเดิม (conventional glass ionomer cement) เรซินมอดิไฟด์กลาสไอโอโนเมอร์ซีเมนต์ (resin-modified glass ionomer cement) และเมทัลรีอินฟอสกลาสไอโอโนเมอร์ซีเมนต์ (metal-reinforced glass ionomer cement)

กลาสไอโอโนเมอร์ซีเมนต์ชนิดดั้งเดิมมีการพัฒนาให้มีการแข็งตัวอย่างรวดเร็ว และมีความเหนียวสูง ไวต่อความชื้นเพียงในช่วง 4-7 นาทีแรกภายหลังจากการผสม^{3,5} ตัวอย่างเช่นฟูจินาย (Fuji IX, GC, Tokyo, Japan) คีแทคโมลาร์ (Ketac Molar, 3M ESPE, St.Paul, USA) และคีแทคฟิลพลัสแอปพลิเคชัน (Ketac fil plus aplicap, 3M ESPE, St.Paul, USA) ปฏิกริยาการแข็งตัวจะเป็นปฏิกริยาการแข็งตัวชนิดกรด-ต่าง (acid-base reaction) เพียงอย่างเดียว

เรซินมอดิไฟด์กลาสไอโอโนเมอร์ซีเมนต์มีความแตกต่างจากกลาสไอโอโนเมอร์ซีเมนต์ชนิดดั้งเดิม คือในส่วนของเหลวจะมีเรซินเอชอีเอ็มเอ (HEMA = hydroxyethyl methacrylate) และมีสารเริ่มปฏิกริยาด้วยแสง (photoinitiator) ได้แก่แคมโฟควิโนน (camphorquinone) ปฏิกริยาจะเป็นชนิดบ่มตัวแบบคูอัล (dual-cured) ซึ่งประกอบด้วย 2 ปฏิกริยา คือปฏิกริยาการแข็งตัวชนิดกรด-ต่างและปฏิกริยาการเกิดพอลิเมอร์ (polymerization reaction) ซึ่งจะเกิดขึ้นเมื่อถูกกระตุ้นด้วยแสงสีฟ้าที่มีความยาวคลื่น 470 นาโนเมตร เกิดเป็นเครือข่ายพอลิเมอร์ ตัวอย่างเช่นฟูจิทูแอลซี (Fuji II LC, GC, Tokyo, Japan) ถ้ามีสารเริ่มต้นปฏิกริยาเคมี (chemical

initiators) เป็นองค์ประกอบอยู่ด้วยจะทำให้เกิดปฏิกริยาได้ทันทีเมื่อเริ่มผสม เรียกว่าปฏิกริยาการแข็งตัวชนิดออกซิเดชันรีดักชัน (oxidation-reduction reaction)⁶ ตัวอย่างเช่นวิทริเมอร์ (Vitremar, 3M ESPE, St.Paul, USA) นอกจากนี้มีการพัฒนาให้ขนาดสารอัดแทรกของเรซินมอดิไฟด์กลาสไอโอโนเมอร์ซีเมนต์มีขนาดเล็กถึงระดับนาโนโดยบริษัทผู้ผลิตให้ชื่อนานาไอโอโนเมอร์ซีเมนต์ (nano-ionomer cement) ตัวอย่างเช่น คีแทคนาโน (Ketac nano, 3M ESPE, St.Paul, USA) หรือเรียกอีกชื่อ ว่าคีแทคเอ็นวันฮันเดรด (Ketac N-100, 3M ESPE, St.Paul, USA)

การสึกในช่องปากเป็นขบวนการที่ซับซ้อนเกิดมาจากหลายปัจจัยได้แก่การขัดถู (abrasive wear) ความล้า (fatigue wear) การกัดกร่อน (corrosive wear) การกัดเซาะ (erosive wear) การยึดติดภายในเนื้อวัสดุถูกทำลาย (adhesive wear) และการกระแทก (impact wear)⁷⁻⁹ การแปรงโดยใส่ยาสีฟันร่วมด้วยอาจจะทำให้ผิวหน้าของวัสดุบูรณะและโครงสร้างของฟันสึกได้ การสึกนี้คือขบวนการทำให้เกิดการสูญเสียวัสดุเกิดขึ้นจากผิวหน้าของวัสดุเคลื่อนที่หรือเลื่อนหรือไถลผ่านกัน⁷ การจำลองรูปแบบของการเกิดการสึกสามารถทำได้ในห้องปฏิบัติการโดยใช้เครื่องจักรแอคตา (ACTA)¹⁰ เครื่องมือวิธีโพรคัลคอมเพรสชันสไลดิง (reciprocal compression sliding)¹¹ เครื่องจักรกลระบบอิเล็กทรอนิกส์ (electromechanical)¹² อุปกรณ์พินออนดิสก์ไทป์ (pin-on-disc-type)¹² และเครื่องแปรงอัตโนมัติ¹³ เป็นต้น

วิธีการประเมินลักษณะการสึกของวัสดุแบ่งได้เป็น 2 ลักษณะคือการประเมินทางคลินิกและการประเมินทางห้องปฏิบัติการ⁸ ประเมินทางคลินิกสามารถประเมินได้จาก การสังเกตตามหลักเกณฑ์ยูเอสพีเอส (USPHS) ซึ่งรายงานโดย Ryge¹⁴ หรืออาจจะพิมพ์ฟันเพื่อนำมาวิเคราะห์พื้นผิวและนำมาประเมินการสึกในเชิงปริมาณ^{15,16} สำหรับเครื่องมือที่ใช้ในการประเมินการสึกทางห้องปฏิบัติการได้แก่กล้องจุลทรรศน์ชนิดใช้แสงชนิดที่มีการดัดแปลง (modified light microscope)¹² และเครื่องโปรไฟล์มิเตอร์ (profilometer)¹³ สำหรับปัจจัยที่มีผลต่อการสึกจากการแปรงนั้นได้แก่ชนิดของขนแปรง¹⁷ วิธีการแปรง¹⁸ ระยะเวลา แรงแรง ความถี่ในการแปรงฟัน จังหวะการแปรง¹⁹ และค่าความสึกจากการเสียดสีของสารขัดสีในยาสีฟันโดยวัดเป็นค่าอาร์ดีเอ (RDA = radioactive dentin abrasion)²⁰

จากผลการศึกษาเรื่องการสึกของวัสดุบูรณะฟันในอดีตพบว่าได้ผลที่แตกต่างกันเช่น การศึกษาของ Momoi²¹ และคณะในปี ค.ศ. 1997 พบว่าเรซินมอดิฟายด์กลาสไอโอโนเมอร์ซีเมนต์มีการสึกจากการแปรงมากกว่ากลาสไอโอโนเมอร์ซีเมนต์ชนิดดั้งเดิม การศึกษาของ Shabanian¹² และคณะในปี ค.ศ. 2002 พบว่ากลาสไอโอโนเมอร์ซีเมนต์ชนิดดั้งเดิมมีการสึกจากเครื่องจักรกระบบอิเล็กทรอนิกส์มากกว่าเรซินมอดิฟายด์กลาสไอโอโนเมอร์ซีเมนต์ การศึกษาของ Rios²² และคณะในปี ค.ศ. 2002 พบว่ากลาสไอโอโนเมอร์ซีเมนต์ชนิดดั้งเดิมมีการสึกจากการแปรงไม่แตกต่างจากเรซินมอดิฟายด์กลาสไอโอโนเมอร์ซีเมนต์ ในปัจจุบันมีกลาสไอโอโนเมอร์ซีเมนต์หลายผลิตภัณฑ์ที่ออกมาใหม่ ยังไม่มีการศึกษาถึงเรื่องการสึกจากการแปรงและการศึกษาที่ผ่านมาในอดีตส่วนใหญ่จะวัดเฉพาะค่าความหยาบพื้นผิว การสูญเสียน้ำหนัก และแสดงลักษณะพื้นผิว แต่ยังไม่มีการวัดค่าปริมาตรที่เปลี่ยนแปลงไปภายหลังจากการแปรง

การศึกษานี้จึงมีวัตถุประสงค์เพื่อเปรียบเทียบปริมาตรที่สูญหายและความสึกเฉื่อยในเรื่องการสึกจากการแปรงของกลาสไอโอโนเมอร์ซีเมนต์ชนิดดั้งเดิมกับเรซินมอดิฟายด์กลาสไอโอโนเมอร์ซีเมนต์ในห้องปฏิบัติการเพื่อนำผลที่ได้ไปใช้เป็นแนวทางในการเลือกใช้วัสดุบูรณะฟันในช่องปากและปรับปรุงคุณสมบัติของวัสดุในแต่ละผลิตภัณฑ์ต่อไป

วัสดุและวิธีการ

นำวัสดุบูรณะสีเหมือนฟันกลาสไอโอโนเมอร์ซีเมนต์ 4 ผลิตภัณฑ์ ได้แก่กลาสไอโอโนเมอร์ซีเมนต์ดั้งเดิมจำนวนสองผลิตภัณฑ์คือคิแทคฟิลพลัสแอฟลิแคปและฟูจินายจีพีแคปซูล เรซินมอดิฟายด์กลาสไอโอโนเมอร์ซีเมนต์จำนวนสองผลิตภัณฑ์คือคิแทคเอ็นวันอันเดรด และฟูจิฟูแอลซีแคปซูล (ตารางที่ 1) มาใส่ในแบบหล่อโลหะ ที่ทำมาจากเหล็กกล้าไร้สนิม แบบหล่อโลหะประกอบด้วยชั้นบนและชั้นล่าง แบบหล่อโลหะชั้นบนถูกเจาะตรงกลางเป็นช่องที่มีขนาดความกว้าง x ความยาว x ความลึก = 2.0 x 5.0 x 2.0 มิลลิเมตรเพื่อใช้เป็นบริเวณที่จะใส่วัสดุทดสอบ

การเตรียมชิ้นตัวอย่าง

การเตรียมชิ้นตัวอย่างคิแทคฟิลพลัสแอฟลิแคปและฟูจินายจีพีแคปซูล มีขั้นตอนเหมือนกันคือนำแคปซูลของวัสดุไปปั่นด้วยเครื่องผสมอะมัลกัม (Amalga Mix II Amalgamator, Gnatus, Ribeirao Preto, Brazil) ตามคำแนะนำของบริษัท

ผู้ผลิต ฉีดวัสดุลงในหลุมแบบหล่อโลหะให้เต็ม ปิดทับด้วยแถบใสเซลลูลอยด์ใช้แผ่นกระจกใสหนา 1 มิลลิเมตรกดทับด้านบนให้แนบสนิทเพื่อไล่วัสดุส่วนเกินออก²³

การเตรียมชิ้นตัวอย่างคิแทคเอ็นวันอันเดรดจะผสมวัสดุด้วยพายผสมตามคำแนะนำของบริษัทผู้ผลิต การเตรียมชิ้นตัวอย่างฟูจิฟูแอลซีแคปซูลคือนำแคปซูลไปปั่นด้วยเครื่องผสมอะมัลกัม ทั้งคิแทคเอ็นวันอันเดรดและฟูจิฟูแอลซีแคปซูลหลังจากที่ปิดทับด้วยแถบใสเซลลูลอยด์และกระจกแล้วจะฉายแสงด้วยเครื่องฉายแสง (Elipar Trilight, ESPE 3M, Norristown, USA) ความเข้มแสง 470 นาโนเมตร ระยะเวลาการฉายแสงใช้ตามคำแนะนำของบริษัทผู้ผลิต โดยวางปลายหน้าตัดของระบอบอกเครื่องฉายแสงให้ชิดกับแผ่นกระจก

ทิ้งไว้ให้กลาสไอโอโนเมอร์ซีเมนต์ทั้ง 4 ผลิตภัณฑ์แข็งตัวอย่างสมบูรณ์เป็นเวลา 24 ชั่วโมง ในภาชนะปิด จากนั้นภายหลังจากครบ 24 ชั่วโมงแล้วเอาแผ่นกระจกใสและแถบใสเซลลูลอยด์ออก กำจัดวัสดุส่วนเกินด้วยใบมีดเบอร์ 11 ตัดขอบวัสดุให้พอดีกับขอบของโลหะ ทำการเตรียมชิ้นตัวอย่างชนิดละ 32 ชิ้น รวมได้ชิ้นตัวอย่างทั้งหมด 128 ชิ้น นำชิ้นตัวอย่างแช่ในน้ำกลั่น เก็บในตู้ควบคุมอุณหภูมิที่ 37 องศาเซลเซียส นาน 24 ชั่วโมง²³

การอ่านค่าพื้นผิวและหาปริมาตรของชิ้นตัวอย่างก่อนการแปรง

อุณหภูมิในห้องก่อนเริ่มทำงานอยู่ในช่วง 24-25 องศาเซลเซียส นำชิ้นตัวอย่างขึ้นจากน้ำกลั่น เป่าให้แห้ง ในการอ่านค่าชิ้นตัวอย่างจะถูกยึดให้อยู่ตำแหน่งเดิมทั้งก่อนและหลังแปรง วัดค่าพื้นผิวและหาปริมาตรของชิ้นตัวอย่างก่อนการแปรงโดยใช้เครื่องวัดความหยาบพื้นผิว (surface roughness tester, TalyScan 150, Tayior Hobson Ltd., Leicester, England) กำหนดตำแหน่งเริ่มต้นที่จะวัดในแนวแกน X,Y อยู่บนแบบหล่อโลหะ กำหนดพื้นที่ที่ต้องการให้เครื่องอ่านค่า โดยกำหนดความยาวตามแนวแกน x = 3 มิลลิเมตรและความยาวตามแนวแกน Y = 0.5 มิลลิเมตร (ภาพที่ 1) วัดด้วยความเร็วหัวเข็มคดงที่ 3000 ไมโครเมตรต่อวินาที จะได้ค่าพื้นผิวและปริมาตรของชิ้นตัวอย่างก่อนการแปรง กำหนดพื้นที่วัสดุที่ต้องการคำนวณให้มีความยาวตามแนวแกน x = 2 มิลลิเมตรและความยาวตามแนวแกน Y = 0.5 มิลลิเมตร (ภาพที่ 1) โดยใช้คำสั่งซูม (zoom) จะได้ลักษณะ 3 มิติของพื้นผิวของวัสดุก่อนการแปรง เก็บข้อมูลไว้เพื่อนำไปใช้ในการคำนวณหาค่าปริมาตรที่สูญหายและความสึกเฉื่อยที่เปลี่ยนไป

ตารางที่ 1 ชนิดและส่วนประกอบของวัสดุที่ใช้ในการศึกษา

Table 1 Type and compositions of materials.

Materials	Products	Compositions	batch number & Company
Conventional GIC	KF	Powder : Calciumfluoroaluminosilicate glass Liquid : Copolymer of acrylic and maleic acid, water	316381 3M ESPE St.Paul USA
Conventional GIC	F9	Powder : Fluoroaluminosilicate glass Liquid : Polyacrylic acid, Carboxylic acid, water	0801101 GC Tokyo Japan
RMGIC	K100	Paste one : Fluoroaluminosilicate glass, silica, Silane treated silica & zirconia, Methacrylate resin, Dimethacrylate, Photoinitiator Paste two : Water, Polyalkenoic acid, Nanocluster, Silica, zirconia, HEMA, Photoinitiator	20070725 3M ESPE St.Paul USA
RMGIC	F2	Powder : Fluoroaluminosilicate glass Liquid : Polyalkenoic acid, HEMA, TEGDMA, UDMA, water, Photoinitiator	0801141 GC Tokyo Japan
Toothpaste	Colgate®	Sorbital, water, Hydrated Silica, Sodium lauryl sulfate, Flavor, PEG-12, Tetrasodium Pyrophosphate, Cocamidopropyl Betaine, Cellulose gum, Sodium sacchari, Sodium Fluoride, Xanthan gum , Active Fluoride 1000 ppm	Colgate Palmolive Chunburi Thailand

GIC = Glass ionomer cement

HEMA = Hydroxyethyl methacrylate

UDMA = Urethane dimethacrylate

KF = Ketac fil plus aplicap®

K 100 = Ketac-N 100®

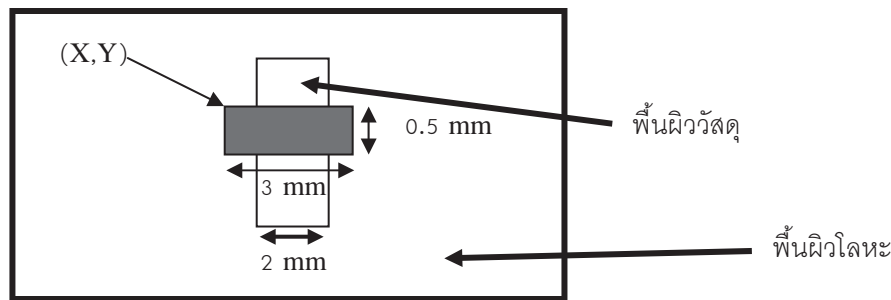
RMGIC = Resin-modified glass ionomer cement

TEGDMA = Triethylene glycol dimethacrylate

PEG = Polyethylene glycol

F9 = Fuji IX GP capsule®

F2 = Fuji II LC capsule®



ภาพที่ 1 พื้นผิวด้านบนของวัสดุและแบบหล่อโลหะ จุดเริ่มต้นที่วัดคือ (X,Y), สีดำ คือ พื้นที่ทั้งหมดที่ถูกวัดมีความยาว x ความกว้าง = 3.0 x 0.5 มิลลิเมตร นำเฉพาะพื้นที่วัสดุไปคำนวณหาปริมาตรที่สูญหายและความลึกเฉลี่ยที่เกิดขึ้น ซึ่งมีขนาดความยาว x ความกว้าง = 2.0 x 0.5 มิลลิเมตร

Figure 1 Top surface of material and metal mold. Beginning of origin was (X,Y). Black color is the total area which was measured, had dimensions of length and width = 3.0 x 0.5 mm. Only material area in dimensions of length and width = 2.0 x 0.5 mm was calculated for change in volume and mean depth.

ขั้นตอนการแปรงขึ้นตัวอย่างด้วยเครื่องแปรงอัตโนมัติ

ใช้แปรงสีฟัน (Premium, Accord, Samuthprakran, Thailand) ชนิดขนแปรงไนลอนความแข็งปานกลางตามมาตรฐานวิชาการแปรงสีฟันกรมอนามัย พ.ศ. 2547 แพร่แปรงสีฟันไว้ในน้ำกลั่นเป็นเวลา 24 ชั่วโมงก่อนการใช้งาน เปลี่ยนแปรงสีฟันใหม่ทุกครั้งทดสอบ²⁴ ยึดด้ามแปรงกับเครื่องแปรง (V-8 Cross Brushing Machine, SABRI Dental Enterprises, INC., Illinois, USA) เตรียมสารละลายยาสีฟันโดยผสมยาสีฟัน (Colgate double cool stripe, Colgate Palmolive, Chonburi, Thailand) กับน้ำกลั่นโดยมีอัตราส่วนของยาสีฟันต่อน้ำกลั่นเท่ากับ 25 กรัมต่อ 40 มิลลิลิตร กวนจนกว่าสารละลายยาสีฟันจะเข้าเป็นเนื้อเดียวกันด้วยเครื่องกวนแบบแตกตัว (Dispension mixer, Ultra turrax T25 basic, IKA laborotechnik Janke & Kunkel GmbH & CO.KG, Staufen, Germany) ยึดขึ้นตัวอย่างทั้ง 8 ชิ้นกับเครื่องแปรง ติดตั้งสปริงกด 8 ตำแหน่งโดยทุกตำแหน่งมีขนาดและความสูงเท่ากัน ใช้เครื่องวัดปริมาณความตึง (Dontrix tension gauge, Dontrix®, รุ่น 16 OZ, E.T.M. Corporation, 3M Unitex, Monrovia, California, USA) และปรับแรงให้ได้แรง 150 กรัม²⁴ โดยขณะวัด หัวแปรงสีฟันจะอยู่ที่ตำแหน่งตรงกลางของขึ้นตัวอย่าง และแนวแรงจะต้องตั้งฉากกับแปรง ยึดกระบอกพลาสติกของสารละลายยาสีฟันเข้ากับเครื่อง ตั้งค่าจำนวนรอบ 20,000 รอบ²⁵ ด้วยความเร็ว 90 รอบต่ออนาที²⁶ เครื่องแปรงจะหยุดอัตโนมัติหลังจากทำงานเสร็จ

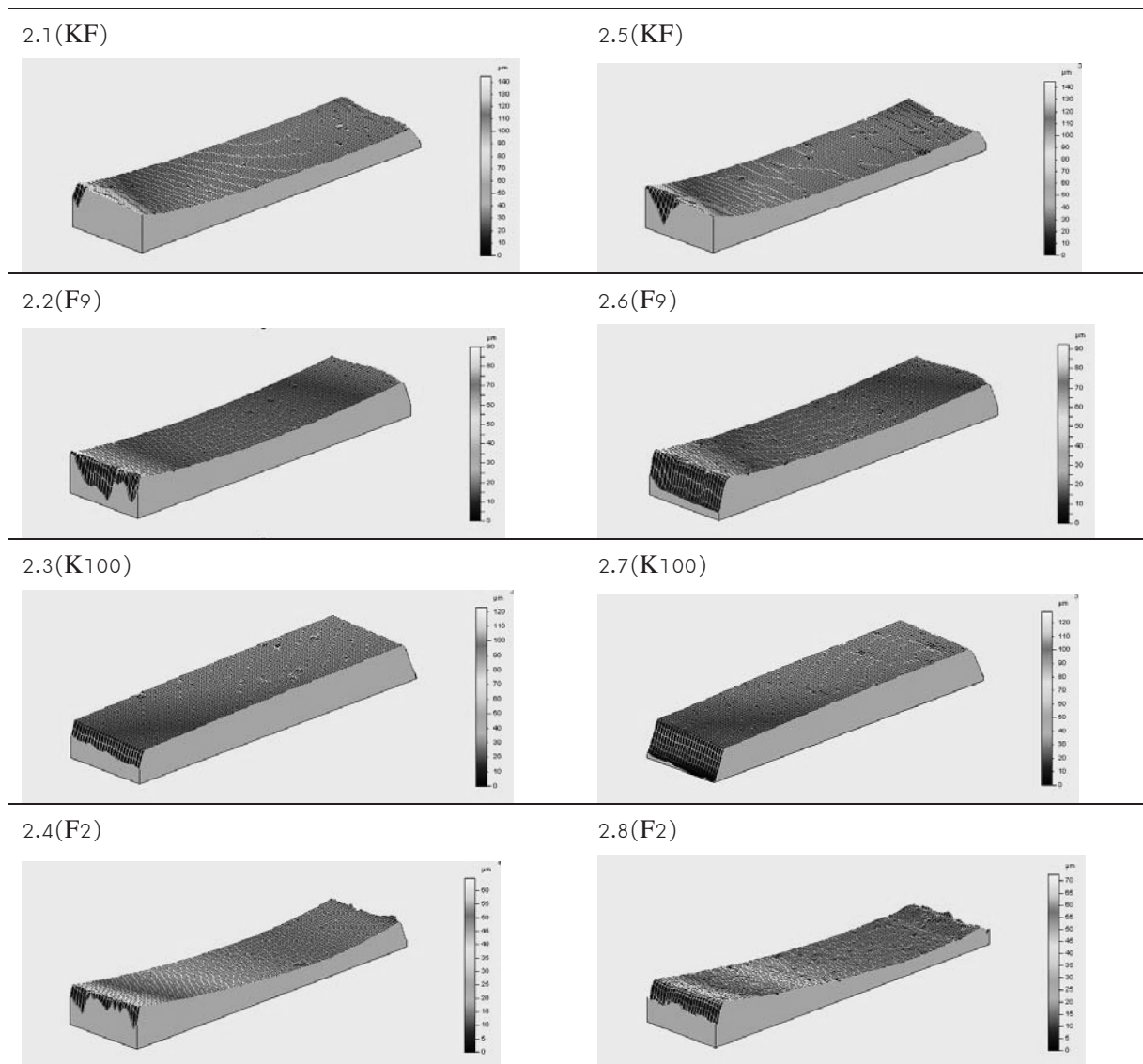
การอ่านค่าพื้นผิวและหาปริมาตรของขึ้นตัวอย่างหลังการแปรง

เมื่อครบจำนวนรอบที่กำหนดแล้ว ล้างขึ้นตัวอย่างด้วยน้ำกลั่นให้สะอาด และเป่าให้แห้ง อ่านค่าพื้นผิวและหาปริมาตรของขึ้นตัวอย่างหลังการแปรงเช่นเดียวกับก่อนการแปรง จากนั้นคำนวณหาปริมาตรที่สูญหายและความลึกเฉลี่ยที่เปลี่ยนไปของวัสดุโดยใช้สองคำสั่ง คำสั่งแรกคือเซอร์เฟซซับแทรกชัน (surface subtraction) เพื่อกำหนดให้เครื่องคำนวณหาความแตกต่างของพื้นผิวทั้งสอง ทั้งก่อนและหลังการแปรง โดยใช้พื้นผิววัสดุที่หลังจากใช้คำสั่งซุ่มก่อนการแปรง ลบด้วยพื้นผิววัสดุหลังจากใช้คำสั่งซุ่มหลังการแปรง จากนั้นใช้คำสั่งที่สองคือปริมาตรของหลุมและยอด (volume of hole and peak) จะได้ปริมาตรที่สูญหาย และความลึกเฉลี่ยที่เปลี่ยนแปลงไปของแต่ละขึ้นตัวอย่าง

นำผลที่ได้ไปทำการวิเคราะห์ทางสถิติโดยโปรแกรมสำเร็จรูป (StatsDirect, StatsDirect Ltd., Cheshire, England) โดยใช้สถิติซิปโรวิลคดับเบิลยูเทส (Shapiro-Wilk W test) พบว่าข้อมูลมีการแจกแจงไม่ปกติ จึงวิเคราะห์หาความแตกต่างของค่าเฉลี่ยของปริมาตรที่สูญหายและความลึกที่เกิดขึ้นภายหลังจากการแปรง ด้วยการใช้อธิติครุสคัล-วัลลิส (Kruskal-Wallis test) วัสดุทั้ง 4 ผลติภัณฑ์ สุ่มมาจากขึ้นตัวอย่างที่มีค่าเฉลี่ยของปริมาตรที่สูญหายและความลึกเฉลี่ยที่เกิดขึ้นภายหลังจากการแปรง ไม่เท่ากันอย่างน้อย 1 คู่

(p -value = 0.011 และ 0.006 ตามลำดับ) ดังนั้นการทดสอบความแตกต่างของแต่ละคู่จะใช้สถิติครุสคัล-วัลลิส และ

เปรียบเทียบความแตกต่างของค่าเฉลี่ยโดยวิธีไคโนเวอร์อินแมน (Conover-Inman)



KF = Ketac fil plus aplicap® F9 = Fuji IX GP capsule®

K 100 = Ketac-N 100® F2 = Fuji II LC capsule®

ภาพที่ 2 ลักษณะ 3 มิติของพื้นผิวของวัสดุโพลีเมอร์ซีเมนต์ชนิดทั้ง 4 ชนิดก่อนการแปรง (ภาพที่ 2.1 ถึง 2.4) และหลังการแปรง (ภาพที่ 2.5 ถึง 2.8)

Figure 2 3 dimensions surface of 4 glass ionomer cements before brushing (Figure 2.1 to 2.4) and after brushing (Figure 2.5 to 2.8)

ผลการศึกษา

ผลการทดสอบการสึกจากการแปรงของวัสดุกลาสไอโอโนเมอร์ซีเมนต์ทั้ง 4 ผลติภณฑ์ แสดงลักษณะ 3 มิติของพื้นผิวกลาสไอโอโนเมอร์ซีเมนต์ซีเมนต์ทั้ง 4 ผลติภณฑ์ก่อนการแปรง (ภาพที่ 2.1 ถึง 2.4) เปรียบเทียบกับหลังการแปรง (ภาพที่ 2.5 ถึง 2.8) พบว่าพื้นผิวหลังการแปรงมีความขรุขระเพิ่มขึ้น และมีปริมาตรลดลง ค่าเฉลี่ยและส่วนเบี่ยงเบนมาตรฐานของปริมาณที่สูญหายและความลึกเฉลี่ยที่เกิดขึ้นภายหลังจากการแปรงของวัสดุ แสดงในตารางที่ 2

ผลของการวิเคราะห์ความแตกต่างของค่าเฉลี่ยของปริมาตรที่สูญหายภายหลังจากการแปรงของกลาสไอโอโนเมอร์ซีเมนต์ทั้ง 4 ผลติภณฑ์พบว่าคิแทคฟิลพลัสแอฟลิแคปแตกต่างจากฟูจิทูแอลซีแคปซูล คิแทคเอ็นวันฮันเดรดและฟูจินายจีพีแคปซูล อย่างมีนัยสำคัญทางสถิติ ($p = 0.005$ 0.003 และ 0.031 ตามลำดับ)

ผลของการวิเคราะห์ความแตกต่างของค่าเฉลี่ยของความลึกเฉลี่ยที่เกิดขึ้นภายหลังจากการแปรงของกลาสไอโอโนเมอร์ซีเมนต์ทั้ง 4 ผลติภณฑ์พบว่าคิแทคเอ็นวันฮันเดรดแตกต่างจากคิแทคฟิลพลัสแอฟลิแคป ฟูจินายจีพีแคปซูล และฟูจิทูแอลซีแคปซูล อย่างมีนัยสำคัญทางสถิติ ($p = 0.001$ 0.012 และ 0.023 ตามลำดับ)

วิจารณ์

การศึกษานี้เป็นการศึกษาการสึกจากการขัดถูโดยวัสดุสามสิ่ง ซึ่งเป็นการสึกที่เกิดจาก 3 องค์ประกอบคือสารละลายยาสีฟัน พื้นผิววัสดุและขนแปรง โดยมีสารละลายยาสีฟันเป็นสารคั่นกลางแทรกอยู่ระหว่างพื้นผิววัสดุกับขนแปรง^{7,8} การที่ใช้ยาสีฟันคอลเกตมาใช้ในการทดลองเพราะเป็นยาสีฟันตามมาตรฐานผลิตภัณฑ์อุตสาหกรรมในประเทศไทย (มอก. 45-2540) ผงขัดที่เป็นองค์ประกอบคือไฮเดรทซิลิกา (hydrated silica) มีค่าความสึกจากการขัดสีปานกลางเท่ากับ 40 อาร์ดีเอ ซึ่งอยู่ในเกณฑ์มาตรฐานของทันตแพทยสมาคมแห่งประเทศไทย สหรัฐอเมริกาและองค์การมาตรฐานนานาชาติที่ 11609 ที่ได้กำหนดค่าความสึกจากการเสียดสีของยาสีฟันว่าไม่ควรมากกว่า 100 อาร์ดีเอ²⁰

แปรงสีฟันที่เลือกใช้ในการศึกษานี้มีส่วนประกอบตรงตามมาตรฐานวิชาการแปรงสีฟันกรมอนามัย พ.ศ. 2547 ส่วนแรงกดของแปรงและการเตรียมสารละลายยาสีฟันกำหนดโดยเกณฑ์มาตรฐานขององค์การมาตรฐานนานาชาติที่ 14569-1 (ISO)²⁴ กำหนดข้อปฏิบัติในการทดสอบความต้านทานต่อการสึกของวัสดุทันตกรรมจากการแปรงฟัน กำหนดให้ใช้ระยะเวลาในการแปรงใช้ 20000 รอบเนื่องจากการศึกษาของ Sorensen และ Nguyen²⁵ พบว่าการแปรงฟันในระยะเวลา

ตารางที่ 2 ค่าเฉลี่ยและส่วนเบี่ยงเบนมาตรฐานของปริมาตรที่สูญหายและความลึกเฉลี่ยที่เกิดขึ้นภายหลังจากการแปรง

Table 2 Mean and standard deviation of volume loss and mean of depth after brushing.

Group (n)	KF (32)	F9 (32)	K100 (32)	F2 (32)
Volume loss (μm^3)	812163.34 ±	482292.47 ±	407910.22 ±	417125.75 ±
Mean ± SD	597877.52	317588.22	280027.71	287623.54
Mean depth (μm)	1.72 ±	1.29 ±	0.84 ±	1.22 ±
Mean ± SD	1.65	0.84	0.40	1.26

KF = Ketac fil plus aplicap® F9 = Fuji IX GP capsule®
 K 100 = Ketac-N 100® F2 = Fuji II LC capsule®

3 ปีจะเทียบเท่ากับการเคลื่อนแปรงสีฟัน 18,768 ครั้งต่อด้าน

เนื่องจากตำแหน่งในการยึดแปรงอาจมีผลต่อการสึกได้ ดังนั้นจึงมีการสร้างตารางการสุม (completed block design) เพื่อช่วยลดความผิดพลาดในแต่ละตำแหน่งการสุมขึ้นตัวอย่าง ผลจากการสร้างตารางการสุมทำให้ทราบถึงจำนวนรอบทั้งหมดที่ต้องทดสอบอย่างน้อยที่สุดคือ 16 รอบ ๆ ละ 8 ตัวอย่าง รวมทั้งหมด 128 ตัวอย่าง แต่ละตำแหน่งทั้ง 8 ตำแหน่งจะมีวัสดุทั้ง 4 ผลิตภัณฑ์หมุนเวียนกันตำแหน่งละ 4 ครั้งเท่ากันหมด

การศึกษานี้ใช้โปรไฟล์มิเตอร์ในการวัดความหยาบของพื้นผิว วัดด้วยวิธีที่เครื่องมือมีการสัมผัสกับพื้นผิวเช่นการใช้เข็มลาก (stylus) ชนิดปลายเข็มเพชรรูปกลม (sphere) มีรัศมี 2 ไมครอน มีความละเอียดในแนวตั้ง (vertical resolution) 0.06 ไมครอน²⁷ เครื่องจะใช้ร่วมกับโปรแกรมทาลิสแกน (TalyScan) 150[®] สามารถวิเคราะห์ คำนวณค่าพื้นที่ ปริมาตร และความลึกเฉลี่ยออกมา ข้อดีของวิธีนี้คือเหมาะสำหรับวัดพื้นผิวในกรณีที่ได้โอดเลเซอร์ (diode laser) ไม่สามารถวัดได้ในการศึกษาวิจัยนำร่องพบว่าถ้าหากใช้วิธีไดโอดเลเซอร์จะวัดค่าได้ถูกต้องกว่าการใช้เข็มลาก แต่ไม่สามารถวัดค่าของคิแทคเอ็นวันอันเดรตและฟูจิยูแอลซีแคปซูลได้เนื่องจากผิวมันเงามีการสะท้อนแสงสูง จึงพิจารณาเลือกวิธีการใช้เข็มลาก พื้นผิวที่จะวัดด้วยเข็มลากจะต้องมีความแข็งเพียงพอ ข้อเสียของวิธีนี้คือไม่สามารถวัดได้ในตำแหน่งที่มีความกว้างของหลุมน้อยกว่ารัศมีของเข็ม หรือในพื้นที่ที่มีมุม เครื่องวัดความหยาบผิวมีความไวต่อปัจจัยภายนอก เช่นอุณหภูมิ แสง ความสะอาด แรงสั่นสะเทือน เป็นต้น ดังนั้นในช่วงที่ทดสอบจึงมีการกำหนดสภาวะควบคุมต่าง ๆ ได้แก่ การควบคุมอุณหภูมิภายในห้องอยู่ในช่วง 24-25 องศาเซลเซียส ควบคุมแสง ความสะอาด แรงสั่นสะเทือน โดยผู้วิจัยจะเลือกช่วงเวลาในการทดสอบคือการอ่านค่าพื้นผิวทั้งก่อนและหลังแปรงจะทำในช่วงเช้า (05.00-06.00 นาฬิกา) อย่างไรก็ตามผลการศึกษาที่ได้พบว่ามีส่วนเบี่ยงเบนมาตรฐานค่อนข้างกว้าง

เพื่อเป็นการหลีกเลี่ยงปัจจัยกวนที่จะเกิดขึ้นจากขั้นตอนในการขัดวัสดุให้เรียบและเตรียมพื้นผิวให้มีสภาพใกล้เคียงกันมากที่สุด ขึ้นตัวอย่างที่ใช้ในการศึกษานี้จะถูกเตรียมโดยนำวัสดุที่จะทดสอบใส่ในหลุมแบบหล่อโลหะที่เตรียมไว้ให้เต็ม แล้วปิดทับด้วยแถบใสเซลลูลอยด์จากนั้นใช้แผ่นกระจกใสกดทับด้านบนให้แนบสนิทเพื่อไล่วัสดุส่วนเกินออกเพื่อให้เกิดพื้นผิวของวัสดุที่จะทดสอบเรียบที่สุดเหมือนกระจกซึ่งจะได้ไม่ต้องขัดวัสดุให้เรียบ²³ และในระยะ 24 ชั่วโมงแรกระหว่างที่ตั้งวัสดุ

ทิ้งไว้ เพื่อให้วัสดุมีการแข็งตัวอย่างสมบูรณ์ จะปิดด้วยแผ่นกระจกใสและแถบใสเซลลูลอยด์ตลอดเวลา เก็บในภาชนะปิดเพื่อป้องกันการระเหยของน้ำ แทนการเคลือบผิวด้วยวาร์นิชกันน้ำ ก่อนนำขึ้นตัวอย่างไปแปรงด้วยเครื่องแปรงอัตโนมัติ มีการนำวัสดุแช่ในน้ำกลั่นเป็นเวลา 24 ชั่วโมงเพื่อให้วัสดุอิ่มน้ำและป้องกันการดูดน้ำของวัสดุขณะแปรง ในการศึกษาครั้งนี้จะควบคุมสีของวัสดุโดยให้มีสีเดียวกันหมดคือ A 3.5 เพื่อหลีกเลี่ยงปัจจัยกวนต่อการเกิดพอลิเมอร์

ความแตกต่างระหว่างชนิดของวัสดุมีผลต่อความต้านทานการสึกของกลาสไอโอโนเมอร์ซีเมนต์ อธิบายได้ว่ากลาสไอโอโนเมอร์ซีเมนต์ชนิดดั้งเดิม (คิแทคฟิลพลัสแอฟลิแคป) มีการสึกที่แตกต่างจากเรซินมอดิฟายด์กลาสไอโอโนเมอร์ซีเมนต์ (ฟูจิยูแอลซีแคปซูลและคิแทคเอ็นวันอันเดรต) อย่างมีนัยสำคัญทางสถิติ เนื่องจากในเมทริกซ์ของคิแทคฟิลพลัสแอฟลิแคปจะประกอบด้วยโครงร่างโพลีอัลคิลีนเอตและส่วนที่เหลือของสารอัดแทรกที่ไม่ได้ทำปฏิกิริยา ในขณะที่เมทริกซ์ของฟูจิยูแอลซีแคปซูลและคิแทคเอ็นวันอันเดรต ประกอบด้วยสายพอลิเมอร์ของมอนอเมอร์เอชอีเอ็มเอกับโครงร่างโพลีอัลคิลีนเอต การยึดกันระหว่างกลุ่มเมทาคริเลต (methacrylate) ในเรซินเอชอีเอ็มเอกับกรดโพลีอะคริลิกจะยึดกันโดยใช้พันธะไฮโดรเจน ซึ่งจะยึดกันเป็นโครงร่างตาข่ายซึ่งมีความแข็งแรงมากกว่ากลาสไอโอโนเมอร์ซีเมนต์ชนิดดั้งเดิม³

ความแตกต่างของผลจากขนาดสารอัดแทรกในวัสดุประเภทเดียวกันให้ผลที่แตกต่างกันคือ ขนาดสารอัดแทรกในกลาสไอโอโนเมอร์ซีเมนต์ชนิดดั้งเดิมไม่ได้มีความสัมพันธ์กับการสึกเนื่องมาจากคิแทคฟิลพลัสแอฟลิแคปมีขนาดสารอัดแทรก 12.50 ไมครอน²⁷ ซึ่งเล็กกว่าฟูจินายจีพีแคปซูลที่มีขนาดสารอัดแทรก 13.43 ไมครอน¹¹ ถ้ามีการสึกจนทำให้สารอัดแทรกหลุดออกไปจากพื้นผิว พื้นผิวหรือหลุมที่เกิดขึ้นควรมีการสึกที่น้อยกว่าฟูจินายจีพีแคปซูล แต่จากผลการศึกษาพบวาคิแทคฟิลพลัสแอฟลิแคปมีการสึกที่มากกว่าฟูจินายจีพีแคปซูล ในขณะที่ขนาดสารอัดแทรกในเรซินมอดิฟายด์กลาสไอโอโนเมอร์ซีเมนต์มีความสัมพันธ์กับการสึกเนื่องมาจากคิแทคเอ็นวันอันเดรตมีขนาดสารอัดแทรกเล็ก ระดับนาโนเมตร ซึ่งมีขนาดเล็กกว่าฟูจิยูแอลซีแคปซูลที่มีขนาดสารอัดแทรก 6.95 ไมครอน²⁸ เมื่อมีการสึกจนทำให้สารอัดแทรกหลุดออกไปจากพื้นผิวพื้นผิวหรือหลุมที่เกิดขึ้นมีการสึกที่น้อยกว่าฟูจิยูแอลซีแคปซูล

ชนิดของสารอัดแทรกจะมีความสำคัญต่อการสึกคือถ้าหากพิจารณาในส่วนผงของคิแทคฟิลพลัสแอฟลิแคปจะ

ประกอบด้วยแคลเซียมฟลูออโรอะลูมิโนซิลิเกตกลาส ซึ่งจะเกิดเกลือแคลเซียมที่ละลายน้ำได้และไม่คงตัว ในขณะที่อีก 3 ผลิตภัณฑ์ที่ใช้ในการศึกษานี้ประกอบด้วยฟลูออโรอะลูมิโนซิลิเกตกลาสซึ่งจะเกิดเกลืออะลูมิเนียมที่มีความคงตัวมากกว่า^{3,4} อาจเป็นอีกสาเหตุหนึ่งที่ทำให้ฟูจินายจีพีแคปซูลมีคุณสมบัติทางกายภาพที่แตกต่างจากเมื่อเทียบกับคิแทคฟิลพลัสแอฟลิแคปอย่างมีนัยสำคัญทางสถิติ แต่ถ้าหากเทียบฟูจินายจีพีแคปซูลกับฟูจิทูแอลซีแคปซูลหรือคิแทคเอ็นวันฮันเดรดจะพบว่าแตกต่างกันแต่ไม่มีนัยสำคัญทางสถิติ

หากพิจารณาความลึกเฉลี่ยที่เกิดขึ้นของวัสดุพบว่า คิแทคเอ็นวันฮันเดรดมีค่าน้อยที่สุดเมื่อเทียบกับคิแทคฟิลพลัสแอฟลิแคป ฟูจิทูแอลซีแคปซูลและฟูจินายจีพีแคปซูล ความลึกที่เกิดขึ้นคำนวณจากนำพื้นที่ผิวที่เครื่องอ่านค่าได้ก่อนการแปรงลบด้วยพื้นที่ผิวที่อ่านได้หลังการแปรง แต่ค่านี้เป็นค่าความลึกเฉลี่ยเฉพาะหลุมที่พื้นผิวไม่ใช่ความลึกของเนื้อวัสดุที่มีการเปลี่ยนแปลงไป ดังนั้นค่าปริมาตรที่มีการเปลี่ยนแปลงภายหลังการแปรงน่าจะบอกถึงการสึกที่แท้จริงได้ดีกว่าค่าความลึกเฉลี่ยที่เกิดขึ้น จากผลการศึกษาพบว่าทั้งค่าของความลึกเฉลี่ยที่เกิดขึ้นและปริมาตรที่มีการเปลี่ยนแปลงไปทิศทางเดียวกันคือคิแทคเอ็นวันฮันเดรดมีค่าน้อยที่สุด และคิแทคฟิลพลัสแอฟลิแคปมีค่ามากที่สุด แสดงว่าเกิดทั้งการสึกเนื้อเมทริกซ์และการหลุดออกไปของสารอัดแทรก

ผลการทดลองนี้มีค่าส่วนเบี่ยงเบนมาตรฐานค่อนข้างกว้าง อาจเนื่องมาจาก

1. เครื่องโปรไฟโลมิเตอร์ ถึงแม้ว่าได้มีการสอบเทียบเครื่อง (calibration) ผ่านทุกระบบจากเจ้าหน้าที่ของบริษัทผู้ผลิตก่อนที่จะเริ่มวิจัย และผู้วิจัยเองได้มีการสอบเทียบเครื่องทุกครั้งตามคำแนะนำของบริษัทผู้ผลิตก่อนที่จะใช้เครื่อง มีการควบคุมจุดอ้างอิงของทุกชิ้นตัวอย่างให้เป็นจุดเดียวกันหมด อย่างไรก็ตามผลการศึกษาที่ได้พบว่ามีค่าส่วนเบี่ยงเบนมาตรฐานค่อนข้างกว้างซึ่งคล้ายกับการศึกษาอื่น ๆ ที่ใช้เครื่องวัดความหยาบพื้นผิวส่วนใหญ่^{3,21,29,30}

2. เครื่องแปรงอัตโนมัติมีการตั้งค่าแรงกดที่เป็นระบบสปริง วัดแรงและปรับแรงโดยใช้สกรูทำได้ยากและใช้เวลานานในแต่ละรอบเพื่อให้ได้ค่าที่เท่ากันหมดและถูกต้อง แปรงที่ใช้งานกับเครื่องต้องมีการเจาะซึ่งตำแหน่งการเจาะรูและการยึดแปรงอาจจะส่งผลต่อทิศทางของการแปรงได้ อย่างไรก็ตามผลการศึกษาที่ได้พบว่ามีค่าส่วนเบี่ยงเบนมาตรฐานค่อนข้างกว้างเช่นเดียวกันกับการศึกษาอื่น ๆ ที่มีการวัดการสึกจากการขัดถูโดยวัสดุสามสิ่ง^{31,32}

3. ขั้นตอนการเตรียมชิ้นตัวอย่าง แแถบไฮเซลลูลอยด์ที่เปิดผิวสดูจะมีผลต่อระนาบของผิวสดู ถ้าหากแผ่นที่ใช้มีความแอ่นโค้ง จะทำให้พื้นผิวไม่เป็นระนาบที่ตรง ส่งผลให้พื้นผิวจะไม่ถูกแปรง นอกจากนี้อาจเกิดรูพรุนภายในเนื้อวัสดุซึ่งไม่สามารถมองเห็นได้เมื่อนำไปแปรงทำให้เกิดการสึกมากกว่าที่ควรจะเป็น ดังนั้นวัสดุที่ใช้ควรเป็นชนิดแคปซูล

4. พื้นที่ที่จะถูกวัดและพื้นที่ที่ใช้คำนวณน้อย แต่ในการวิจัยนี้ได้กำหนดพื้นที่ที่จะถูกวัดความยาวตามแกน X เท่ากับ 3 มิลลิเมตรความยาวตามแกน Y เท่ากับ 0.5 มิลลิเมตร เนื่องจากมีค่าใกล้เคียงกับการศึกษาอื่น¹³

ข้อเสนอแนะในการใช้เครื่องมือควรมีการสอบเทียบเครื่องทุกครั้งก่อนที่จะใช้งาน มีการระมัดระวังการถอดใส่ชิ้นงานเพื่อป้องกันจุดอ้างอิงเปลี่ยน อาจมีการเพิ่มขึ้นตัวอย่างให้มากขึ้นเพื่อลดค่าส่วนเบี่ยงเบนมาตรฐานหรือเพิ่มพื้นที่ที่จะถูกวัดและพื้นที่ที่ใช้คำนวณ สำหรับเครื่องแปรงอัตโนมัติถ้ามีชนิดที่มีการตั้งค่าแรงโดยใช้น้ำหนักกดที่หัวแปรง จะทำให้วัดค่าแรงกด ทำได้ง่ายและมีความถูกต้องมากขึ้น การเตรียมแถบไฮเซลลูลอยด์ต้องเรียบตรงเพื่อให้พื้นผิววัสดุได้ระนาบที่ตรงทำให้ได้รับแรงที่ถูกต้องและระวางไม่ให้เกิดฟองอากาศขณะฉีดวัสดุ

การวิจัยนี้เป็นการวิจัยเชิงทดลองในห้องปฏิบัติการ ผลที่ได้จะเป็นแนวทางในการบ่งบอกถึงโอกาสที่จะเกิดการสึกจากการแปรงของกลาสไอโอโนเมอร์ซีเมนต์ทั้งสี่ชนิด แต่การนำผลไปใช้ในทางคลินิกโดยตรงต้องคำนึงถึงปัจจัยอื่น ๆ เนื่องจากในสภาวะช่องปากมีความซับซ้อนและแตกต่างจากสภาวะในห้องปฏิบัติการ เช่น สภาวะความเป็นกรดต่างของน้ำลาย ผลจากอาหารที่รับประทาน วิธีการแปรงฟันของผู้ป่วยแต่ละราย แรงที่ใช้ ความถี่ ชนิดของขนแปรง รวมถึงยาสีฟันที่ใช้มีความแตกต่างกัน การศึกษานี้จึงเป็นเพียงส่วนหนึ่งของสภาพความเป็นจริงเท่านั้น แต่ในชีวิตประจำวันจะมีปัจจัยอื่น ๆ ที่อาจทำให้วัสดุสึกต่อเนื่องและมีความรุนแรงเพิ่มขึ้น

นอกจากนี้ผลการศึกษาที่ได้สามารถเปรียบเทียบเฉพาะผลิตภัณฑ์ที่นำมาทดสอบในงานวิจัยนี้เท่านั้นไม่อาจนำไปเปรียบเทียบกับผลิตภัณฑ์อื่น ๆ ที่ยังไม่ได้นำมาศึกษาในครั้งนี้ เนื่องจากองค์ประกอบที่แตกต่างกันของวัสดุ และระเบียบวิธีวิจัยที่แตกต่างกัน การศึกษานี้สามารถเป็นแนวทางในการทำวิจัยต่อไปเพื่อเปรียบเทียบการสึกกับวัสดุกลุ่มอื่น ๆ อีกเช่น เมททัลอินฟอสฟอกลาสไอโอโนเมอร์ซีเมนต์ เรซินคอมโพสิต เป็นต้น

สรุป

คือเทคโนโลยีฟิล์มเคลือบผิวที่มีการศึกษาหลังการแปรปรวนที่แตกต่างจากเรซินคอมโพสิตโฟลว์ไดนาไมคโพลีเมอร์ซีเมนต์ทั้งสองชนิด (คือเทคโนโลยีวันอันเดรดและฟูจิทูแอลซีแคปซูล) และกลาสไอโอโนเมอร์ซีเมนต์ชนิดดั้งเดิมอีกชนิดหนึ่ง (ฟูจินายจีพีแคปซูล)

กิตติกรรมประกาศ

ขอขอบพระคุณอาจารย์ไพพรรณ พิทยานนท์ ที่ให้ความช่วยเหลือและคำแนะนำด้านสถิติ บุคคลากรประจำศูนย์วิจัยทางทันตวัสดุศาสตร์และศูนย์วิจัยทางชีววิทยาของปากทุกท่านที่เอื้อเฟื้อสถานที่ อุปกรณ์การวิจัยและให้ความสะดวกในการดำเนินการวิจัยทุกขั้นตอน บัณฑิตวิทยาลัย จุฬาลงกรณ์มหาวิทยาลัย ที่ให้ทุนอุดหนุนวิทยานิพนธ์

เอกสารอ้างอิง

- Hu JY, Chen XC, Li YQ, Smales RJ, Yip KH. Radiation-induced root surface caries restored with glass-ionomer cement placed in conventional and ART cavity preparations: results at two years. *Aust Dent J.* 2005;50:186-90.
- Xie D, Brantley WA, Culbertson BM, Wang G. Mechanical properties and microstructures of glass-ionomer cements. *Dent Mater.* 2000;16:129-38.
- Mount GJ, Bryant RW. Glass ionomer materials. In: Mount GJ, Hume WR, editors. *Preservation and restoration of tooth structure.* 1st, Barcelona: Mosby publishing Company, 1998:69-92.
- Sueo S, Satoshi T, Kazuo H. Characteristics of glass ionomer cements. In: Davidson LH, Mjor IA, editors. *Advance in glass ionomer cements.* 1st, Berlin: Quintessence publishing Co, 1999:15-50.
- Nagaraja UP, Kishore G. Glass Ionomer Cement-The Different Generations. *Trends Biomater. Artif. Organs.* 2005;18:158-65.
- Wilson AD. Resin-modified glass-ionomer cements. *Int J Prosthodont.* 1990;3:425-9.
- Mair LH. Wear in dentistry-current terminology. *J Dent.* 1992;20:140-4.
- Sulong MZ, Aziz RA. Wear of materials used in dentistry: a review of the literature. *J Prosthet Dent.* 1990;63:342-9.
- Van Noort R. Resin composites and polyacid-modified resin composites. In: Van Noort R editor. *Introduction to dental materials.* 3rd, London: Mosby publishing company, 2008:119-20.
- Heintze SD, Zappini G, Rousson V. Wear of ten dental restorative materials in five wear simulators--results of a round robin test. *Dent Mater.* 2005;21:304-17.
- Yap AU, Pek YS, Cheang P. Physico-mechanical properties of a fast-set highly viscous GIC restorative. *J Oral Rehabil.* 2003;30:1-8.
- Shabanian M, Richards LC. In vitro wear rates of materials under different loads and varying pH. *J Prosthet Dent.* 2002;87:650-6.
- Wilaipan D. Wear of domestic pit and fissure sealants after simulated brushing [dissertation]. Bangkok (BK): Chulalongkorn University; 2006.
- Ryge G. Clinical criteria. *Int Dent J.* 1980;30:347-58.
- Leinfelder KF, Taylor DF, Barkmeier WW, Goldberg AJ. Quantitative wear measurement of posterior composite resins. *Dent Mater.* 1986;2:198-201.
- Phonghanyudh A, Chankanka O, Harnirattisai C. Measurement of the wear of flowable composites in preventive resin restorations. *Mahidol Dent J.* 2002;22:19-28.
- Harrington JH, Terry IA. Automatic and hand toothbrushing abrasions studies. *J Am Dent Assoc.* 1964;68:343-50.
- Bergstrom J, Lavstedt S. An epidemiologic approach to toothbrushing and dental abrasion. *Community Dent Oral Epidemiol.* 1979;7:57-64.
- Heath JR, Wilson HJ. Abrasion of restorative materials by toothpaste. *J Oral Rehabil.* 1976;3:121-38.
- Wulknitz P. Cleaning power and abrasivity of european toothpastes. *Adv Dent Res.* 1997;11:576-9.
- Momoi Y, Hirosaki K, Kohno A, McCabe JF.

- In vitro toothbrush-dentifrice abrasion of resin-modified glass ionomers. *Dent Mater.* 1997;13:82-8.
22. Rios D, Honorio HM, de Araujo PA, Machado MA. Wear and superficial roughness of glass ionomer cements used as sealants, after simulated toothbrushing. *Pesqui Odontol Bras.* 2002;16:343-8.
 23. Turssi CP, de Magalhaes CS, Serra MC, Rodrigues Junior AL. Surface roughness assessment of resin-based materials during brushing preceded by pH-cycling simulations. *Oper Dent.* 2001;26:576-84.
 24. International Organization for Standardization. Dental materials-Guidance on testing of wear resistance-Part 1:Wear by tooth brushing. ISO/TS 14569-1. 1999;1st ed. (ISO, Switzerland).
 25. Sorensen JA, Nguyen HK. Evaluation of tooth-brush-induced dentin substrate wear using an in vitro ridged-configuration model. *Am J Dent.* 2002;15 Spec No:26B-32B.
 26. Teixeira EC, Thompson JL, Piascik JR, Thompson JY. In vitro toothbrush-dentifrice abrasion of two restorative composites. *J Esthet Restor Dent.* 2005;17:172-80; discussion 181-2.
 27. Lee YK, Lim BS, Rhee SH, Yang HC, Lim YK. Changes in scattering and absorption properties of esthetic filling materials after aging. *J Biomed Mater Res part B :Appl Biomater.* 2007;80:131-9.
 28. Gladys S, Van Meerbeek B, Braem M, Lambrechts P, Vanherle G. Comparative physico-mechanical characterization of new hybrid restorative materials with conventional glass-ionomer and resin composite restorative materials. *J Dent Res.* 1997;76:883-94.
 29. Saijai T. Effect of Thai wine on surface roughness and erosion of various tooth-colored filling materials [dissertation]. Bangkok (BK): Chulalongkorn University; 2005.
 30. Philpotts CJ, Weader E, Joiner A. The measurement in vitro of enamel and dentine wear by toothpastes of different abrasivity. *Int Dent J.* 2005;55:183-7.
 31. Kunzelmann KH, Burkle V, Bauer C. Two-body and three-body wear of glass ionomer cements. *Int J Paediatr Dent.* 2003;13:434-40.
 32. Futatsuki M, Nozawa M, Ogata T, Nakata M. Wear of resin-modified glass ionomers: an in vitro study. *J Clin Pediatr Dent.* 2001;25:297-301.

Wear of glass ionomer cements after brushing

Peerapong Kupradit D.D.S., Grad Dip. (Oper. Dent)¹

Vasana Patanapiradej D.D.S., High Grad Dip. (Endodont), M.D.S., Thai board (Oper. Dent)²

Charuphan Oonsombat D.D.S., Grad Dip.(Oper. Dent), Cert. in Oper. Dent., M.S., ABOD²

¹Graduate student, Department of Operative Dentistry, Faculty of Dentistry, Chulalongkorn University.

²Department of Operative Dentistry, Faculty of Dentistry, Chulalongkorn University.

Abstracts

Objective To compare the volume loss and mean depth in abrasive wear of 2 conventional glass ionomer cements (Ketac fil plus aplicap[®] and Fuji IX GP capsule[®]) and 2 resin-modified glass ionomer cements (Ketac N-100[®] and Fuji II LC capsule[®]) after brushing, *in vitro*.

Materials and methods 128 specimens were prepared in metal mold. The samples were equally divided into 4 groups according to materials tested, which were Ketac fil plus aplicap[®], Fuji IX GP capsule[®], Ketac N-100[®] and Fuji II LC capsule[®]. Volume loss and mean surface depth of each sample were measured using a Profilometer. Using 8 samples per cycle, the specimens were brushed using V-8 Cross Brushing Machine at 20,000 strokes, 90 cycles per minute, with a brush-head load 150 grams in a toothpaste slurry. Changes in volume loss and mean surface depth of each sample after brushing were measured and statistically analyzed, using Kruskal-Wallis test at a significant level of 0.05.

Results Changes in volume loss and mean depth after brushing of Ketac fil plus aplicap[®] showed significantly different from those of Ketac N-100[®], Fuji II LC capsule[®] and Fuji IX GP capsule[®] ($p = 0.003$ 0.005 and 0.031 respectively) but no significant difference was observed between Fuji IX GP capsule[®] and Fuji II LC capsule[®] or Ketac N-100[®].

Conclusion Wear of Ketac fil plus aplicap[®] was different from resin-modified glass ionomer cements (Ketac N-100[®] and Fuji II LC capsule[®]) and another conventional glass ionomer cement (Fuji IX GP capsule[®]).

(CU Dent J. 2010;33:119-30)

Key words: brushing wear; glass ionomer cement; profilometer; simulated brushing; volume loss
